

## РАСЧЕТНЫЕ МОДЕЛИ БРУСА ПРИ СОВМЕСТНОМ ДЕЙСТВИИ ПЕРЕМЕННЫХ СИЛ С УЧЕТОМ ПОВРЕЖДАЕМОСТИ

А. А. МУРАДОВ

*Наманганский инженерно-технологический институт, Республика Узбекистан*

А. АБДУСАТТАРОВ, Н. Б. РУЗИЕВА

*Ташкентский государственный транспортный университет, Республика Узбекистан*

В статье приводятся упрощенные модели расчета бруса при совместном действии сил с учетом повреждаемости материала. На основе вариационного принципа Гамильтона – Остроградского получена система дифференциальных уравнений движения (равновесия), приведена схема реализации пример расчета бруса.

Рассмотрим брус прямоугольного сечения при воздействии внешних сил. Ось  $OX$  направим по длине стержня, а оси  $OZ$  и  $OY$  – поперек бруса. Перемещения точек бруса при совместном действии продольных, поперечных и крутильных сил можно представить в следующем виде [1, 2]:

$$u_1 = u - y\alpha_1 - z\alpha_2, \quad u_2 = v - z\theta, \quad u_3 = w + y\theta, \quad (1)$$

где  $u, v, w$  – перемещения центральной линии бруса;  $\alpha_1, \alpha_2$  – углы поворота сечения при чистом изгибе;  $\theta$  – угол кручения.

Согласно формуле Коши, с учетом (1) определены компоненты деформации. Используя закон Гука, компоненты напряжений выразим через деформации следующим образом:

$$\sigma_{11} = 3Ge_{11}, \quad \sigma_{13} = Ge_{13}, \quad \sigma_{12} = Ge_{12}. \quad (2)$$

Предполагается, что модуль сдвига  $G$  линейно зависит от повреждаемости  $\eta(e_u)$ .

$$G = G_0(1 - \gamma\eta(e_u)). \quad (3)$$

Кинетические уравнения повреждаемости представим в виде [3]

$$\frac{d\eta}{de_u} = A \cdot \frac{\varepsilon_u^\alpha}{(1 - \gamma\eta_n)^\beta} \quad \text{или} \quad \frac{d\eta}{de_u} = A\varepsilon_u^\alpha.$$

Для вывода уравнений движения бруса при совместном действии сил с учетом повреждаемости используем вариационный принцип Гамильтона – Остроградского [2]:

$$\delta \int_t (T - \Pi + A) dt = 0, \quad (4)$$

где вариации кинетической энергии определяются по формуле

$$\delta \int_t T dt = \int_t \int_v \rho \sum_{i=1}^3 \left( \frac{\partial u_i}{\partial t} \cdot \delta \frac{\partial u_i}{\partial t} \right) dv dt. \quad (5)$$

Учитывая выражения (1), (2), вариации кинетической энергии представим в векторном виде

$$\delta \int_t T dt = \int_t \int_x \tilde{A} \frac{\partial Y}{\partial t} E \delta Y dx \Big|_t - \int_t \int_x \tilde{A} \frac{\partial^2 Y}{\partial t^2} E \delta Y dx dt, \quad (6)$$

Вариация потенциальной энергии и работа внешних сил бруса в данной постановке имеют вид

$$\delta \int_t \Pi dt = \int_t \int_v \left( \sum_{i=1}^3 \sigma_{i1} \delta e_{i1} \right) dv dt = \int_t \int_v \left[ \sigma_{11} \delta e_{11} + \sigma_{12} \delta e_{12} + \sigma_{13} \delta e_{13} \right] dV dt. \quad (7)$$

$$\delta \int_t A dt = \int_t \int_v \sum_{i=1}^3 p_i^{(n)} \delta u_i^{(n)} dv dt + \int_t \int_s \sum_{i=1}^3 q_i^{(n)} \delta u_i^{(n)} ds dt + \int_t \int_{s_1} \sum_{i=1}^3 f_i^{(n)} \delta u_i^{(n)} ds_1 dt \Big|_x. \quad (8)$$

Аналогично определяем вариации потенциальной энергии и работу внешних сил в векторной форме:

$$\delta \int_t \Pi dt = \int_t \left\{ (A^{(e)} - A^{(n)}) \frac{\partial Y}{\partial x} + (B^{(e)} - B^{(n)}) Y \right\} E \delta Y dt \Big|_x + \int_t \int_x \left\{ \frac{\partial}{\partial x} \left( (A^{(e)} - A^{(n)}) \frac{\partial Y}{\partial x} + (B^{(e)} - B^{(n)}) Y \right) + (C^{(e)} - C^{(n)}) \frac{\partial Y}{\partial x} + (D^{(e)} - D^{(n)}) Y \right\} E \delta Y dx dt ; \quad (9)$$

$$\delta \int_t A dt = \int_t Q^\Gamma \delta Y dt \Big|_x + \int_t \int_x Q^\Pi dY dx dt . \quad (10)$$

Подставляя векторные выражения вариации кинетической (6), потенциальной (9) энергий и работы внешних сил (10) в вариационный принцип (4), в результате получаем следующую краевую задачу:

$$\tilde{A} \frac{\partial^2 Y}{\partial t^2} + \frac{\partial}{\partial x} \left[ (A^{(e)} - A^{(n)}) \frac{\partial Y}{\partial x} + (B^{(e)} - B^{(n)}) Y \right] + (C^{(e)} - C^{(n)}) \frac{\partial Y}{\partial x} + (D^{(e)} - D^{(n)}) Y + Q^u = 0; \quad (11)$$

$$\left\{ (A^{(e)} - A^{(n)}) \frac{\partial Y}{\partial x} + (B^{(e)} - B^{(n)}) Y + Q^{\Gamma P} \right\} \delta Y \Big|_x = 0; \quad \tilde{A} \frac{dY}{dt} E \delta Y \Big|_t = 0. \quad (12)$$

Для решения краевой задачи используется метод конечных разностей и метод последовательных приближений [4]. В процессе их аппроксимации применяется центральная разностная схема второго порядка точности. Схема приложения распределения внешней нагрузки представлена на рисунке 1.

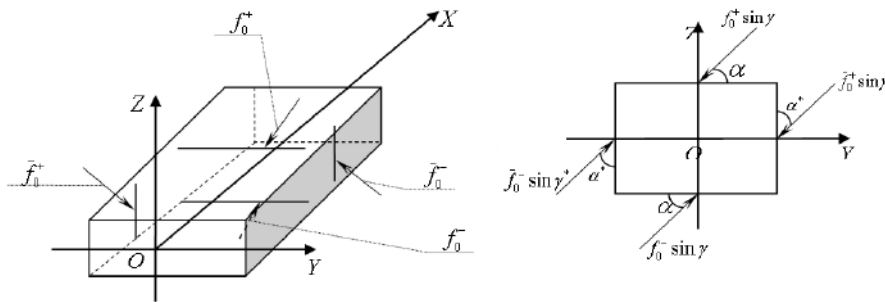


Рисунок 1 – Схема приложения внешней нагрузки

Для реализации приведенного алгоритма использована модифицированная комплексная программа на объектно ориентированном языке.

В качестве примера приводим результаты расчета бруса прямоугольного поперечного сечения, заземленного по торцам при действии совместных переменных сил [3, 5]. Задача решена при следующих исходных данных: материальные константы кинетического уравнения повреждаемости:  $A = 1,2 \cdot 10^{-4}$ ;  $\alpha = \beta = 5$ ;  $\gamma = 0.8$ . Результаты расчета приводятся ( $y = 0$ ;  $z = b_0$ ) в точках поперечного сечения стержня  $x = 0,0, \dots, x = 1,0$  при постоянной интенсивности нагрузки. В таблице 1 приведены изменения расчетных величин: прогиба, углы поворота и повреждаемости.

Таблица 1

x	Результаты упругого расчета					
	w	$\alpha_1$	$\alpha_2$	v	u	$\eta$
0,0	0,000000	0,000000	0,000000	0,000000	0,000000	0,0001621
0,2	-0,029073	-0,229328	-0,214975	-0,027255	-0,000635	0,0001266
0,4	-0,073375	-0,174730	-0,163816	-0,068788	-0,001128	0,000122
0,6	-0,089592	0,028530	0,026741	-0,083994	-0,001481	0,000137
0,8	-0,061512	0,245190	0,229877	-0,057670	-0,001692	0,000129
1,0	0,000000	0,339911	0,318683	0,000000	-0,001763	0,000121

Результаты численного расчета показывают, что с увеличением интенсивности внешней нагрузки  $\delta$  пропорционально увеличиваются значения компонентов вектора перемещения и соответственно внутренних усилий. При этом сохраняются основные законы изменения

перемещений и угла поворота, где сплошные линии – упругий расчет (при  $\delta = 1, 2, 3$ ), а штрих-пунктирная линия – с учетом повреждаемости (при  $\delta = 3$ ).

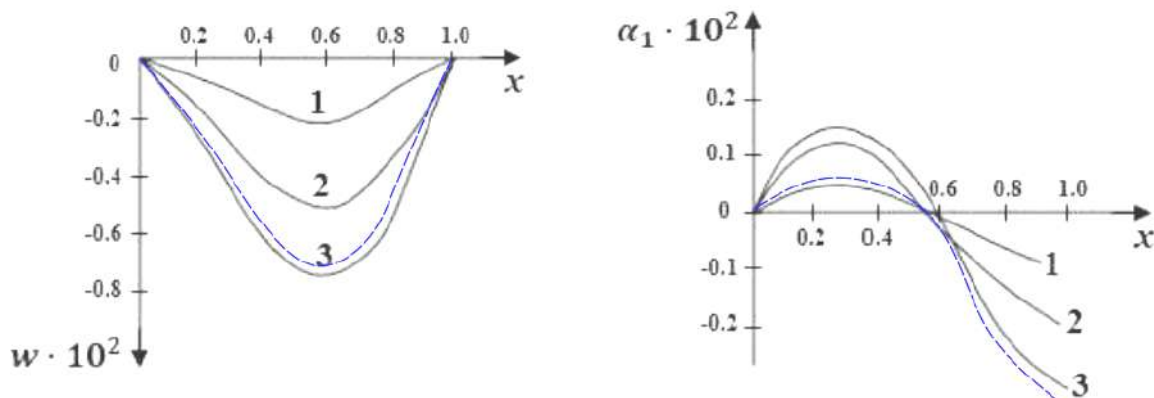


Рисунок 2 – Изменения перемещений и угла поворота по длине бруса

Анализ численного эксперимента показывает, что с увеличением внешней нагрузки изменяются зоны повреждаемости. В свою очередь это влияет на кинетику перемещений, усилий и моментов элементов конструкции типа бруса.

#### Список литературы

- 1 Власов, В. З. Избранные труды. Т. I–III. / В. З. Власов. – М. : Наука, 1962–1964. – 1506 с.
- 2 Кабулов, В. К. Алгоритмизация в теории упругости и деформационной теории пластичности / В. К. Кабулов // Ташкент : Фан, 1966. – 394 с.
- 3 Абдусаттаров, А. Уругопластический расчет тонкостенных стержней при переменном нагружении с учетом повреждаемости / А. Абдусаттаров, А. И. Исомиддинов Н. Б. Рузиева // Проблемы механики. – 2021. – № 2. – С. 3–16.
- 4 Годунов, С. К. Разностные схемы / С. К. Годунов, В. С. Рябенкий. – М. : Наука, 1973. – 400 с.
- 5 Старовойтов, Э. И. Циклическое нагружение уругопластических трёхслойных стержней с учетом их повреждаемости / Э. И. Старовойтов, А. Абдусаттаров, Н. Б. Рузиева // Проблемы механики. – 2023. – № 1. – С. 66–74.

УДК 539.3

### ТЕМРОРАДИАЦИОННОЕ НЕОСЕСИММЕТРИЧНОЕ НАГРУЖЕНИЕ ТРЕХСЛОЙНОЙ ФИЗИЧЕСКИ НЕЛИНЕЙНОЙ ПЛАСТИНЫ

*А. В. НЕСТЕРОВИЧ, Ю. В. ШАФИЕВА*

*Белорусский государственный университет транспорта, г. Гомель*

В статьях [1–4] рассматривается деформирование трехслойных пластин при статических и динамических видах нагружений. Влияние неосесимметричных нагрузок на напряженно-деформированное состояние круговой трехслойной пластины в своей плоскости рассмотрено в [5]. В данной работе исследовано деформирование в терморрадиационном стационарном поле круглых уругопластических трехслойных пластин при воздействии неосесимметричных нагрузок  $p_r(r, \varphi)$ ,  $p_\varphi(r, \varphi)$ , приложенных к срединной плоскости заполнителя.

Постановка задачи и ее решение проводятся в полярной системе координат  $r, \varphi, z$ , которая связывается со срединной плоскостью заполнителя. Кинематика пакета соответствует гипотезам ломаной линии. Аналитическое решение приводится при нахождении пластины в стационарном температурном поле  $T$  и облучается нейтронным потоком  $I$ . Рассматривается только плоская часть задачи, где  $u_r, u_\varphi$  – искомые радиальные и тангенциальные перемещения.

В соответствии с соотношениями теории малых уругопластических деформаций Ильюшина в слоях пластины связь напряжений и деформаций имеет следующий вид:

$$s_{\alpha\beta}^{(k)} = 2G_k(T) \left( 1 - \omega_k(\varepsilon_u^{(k)}, T, I) \right) \varepsilon_{\alpha\beta}^{(k)} \quad (\alpha = r, \varphi),$$

$$\sigma^{(k)} = 3K_k(T) \left( \varepsilon^{(k)} - \alpha_0^{(k)} \Delta T - BI \right) \quad (\alpha, \beta = r, \varphi; k = 1, 2, 3),$$

где  $\omega_k(\varepsilon_u^{(k)}, T, I)$  – функции физической нелинейности материалов слоев.